

بررسی اثر شرایط ورودی کانال مرکب بر مشخصات جریان به کمک سرعت‌سنجی تصویری ذرات

مصطفی نبی‌بور^{*} (دکتری)

سید علی اکبر صالحی نیشابوری (استاد)

دانشکده مهندسی عمران و محیط‌زیست، دانشگاه تربیت مدرس

سید حسین مهاجری (استادیار)

دانشکده فنی مهندسی، دانشگاه خوارزمی

امیر رضا زراثی (استاد)

دانشکده مهندسی عمران و محیط‌زیست، دانشگاه امیرکبیر

رضا صادقی دوران (دانشجوی دکتری)

دانشکده مهندسی عمران و محیط‌زیست، دانشگاه تربیت مدرس

مهمشی مکانیک شریف (پذیرش ۱۴۰۵)
دوری ۳۷۳، شماره ۱، ص. ۳۲۷-۳۶۰ (پژوهشی)

در مطالعات کانال مرکب به‌منظور کنترل برقراری شرایط توسعه یافته‌گی کامل جریان، لازم است توزیع دبی در کانال اصلی و سیلان دشت برخوبی شود. هدف این تحقیق، بررسی اثر شرایط ورودی مرکب با طبل کوتاه در برقراری شرایط توسعه یافته‌گی با استفاده از بررسی میدان جریان و پارامترهای آشفته‌گی است. بدین منظور از ابزار سرعت‌سنجی تصویری ذرات در یک کانال مرکب استفاده شده است. نتایج این تحقیق نشان می‌دهد که در کانال مرکب کوتاه با استفاده از آرامکننده‌ی یکسان در کانال اصلی و سیلان دشت، حتی تا انتهای کانال انتقال جرم از سیلان دشت به کانال اصلی وجود دارد. در این حالت تغییرات سرعت طولی در عرض سیلان دشت بسیار کم است و فروافتادگی شدید در محل سرعت بیشینه در کانال اصلی (در نزدیکی ناحیه اندرکنش) رخ می‌دهد. در حالی که در کانال مرکب کوتاه با افزودن آرامکننده‌ی کمکی در سیلان دشت، شرایط مناسب و مشابه با کانال مرکب توسعه یافته تشکیل می‌شود.

mnabipour61@gmail.com
salehi@modares.ac.ir
hossein.mohajeri@khu.ac.ir
zarrati@aut.ac.ir
reza_s329@yahoo.com

واژگان کلیدی: کانال مرکب روباز، اثر ورودی، انتقال جرم، میدان جریان، سرعت‌سنجی تصویری ذرات.

۱. مقدمه

آلاینده‌ها و مواد مخذلی بین کانال اصلی و سیلان دشت، سامان‌دهی رودخانه و ارزیابی خطرات سیل از اهمیت زیادی برخوردار است.^[۵] انتقال موسمت و جرم در کانال‌های مرکب غیرمنشوری مانند کانال‌های مرکب دارای پیچ و خم،^[۶] کانال‌های مرکب همگرا^[۷] و کانال‌های مرکب واگرا^[۸] بسیار شدیدتر از کانال‌های منشوری است. البته در کانال‌های مرکب منشوری نیز امکان تبادل موسمت بین کانال اصلی و سیلان دشت وجود دارد. بررسی ساختار جریان در کانال مرکب، از دهه ۱۹۶۰ میلادی آغاز شده و تاکنون ادامه یافته است.^[۹] علی‌رغم انجام مطالعات آزمایشگاهی^[۱۰-۱۱] و مدل‌سازی عددی^[۱۲-۱۳] متعدد در خصوص بررسی ساختار جریان در کانال مرکب، تحقیقات محدودی در مورد شرایط جریان در طول کانال و محل برقراری شرایط توسعه یافته‌گی جریان در کانال مرکب منشوری صورت گرفته است.^[۱۴] در طول کانال مرکب (با توجه به مشخصات کانال مرکب و شرایط ورودی)، اغلب به طور متوسط انتقال جرم بین سیلان دشت و کانال اصلی وجود دارد و بنابراین ممکن است در ابتدای کانال مرکب، جریان‌های ثانویه شامل

اغلب رودخانه‌های طبیعی دارای یک مقطع اصلی به همراه یک یا دو سیلان دشت مجاور (با تراز بالاتر از مقطع اصلی) هستند. به چنین مقطعی در اصطلاح «کانال مرکب» گفته می‌شود. در کانال مرکب یک جریان عمیق در مقطع اصلی و یک جریان کم عمق در سیلان دشت تشکیل می‌شود.^[۱۰] اصلی‌ترین مشخصه‌ی جریان در کانال مرکب، تفاوت سرعت بین کانال اصلی و سیلان دشت است که باعث ایجاد مقاومت در جریان و در نتیجه تغییر ظرفیت آبگذری کانال مرکب می‌شود.^[۱۱] در این شرایط گردایان شدید سرعت بین مقطع اصلی و سیلان دشت موجب تبادل موسمت و جرم شدید بین دو مقطع کم عمق و عمیق می‌شود.^[۱۲-۱۳]

شناخت نحوه انتقال موسمت و جرم بین کانال اصلی و سیلان دشت در یک رودخانه‌ی طبیعی یا کانال مرکب برای بررسی فرایند جابه‌جایی رسوبات،

* نویسنده مسئول

تاریخ: دریافت ۲۵/۱۱/۱۳۹۹، اصلاحیه ۱۶/۵/۱۴۰۰، پذیرش ۶/۶/۱۴۰۰.

DOI:10.24200/J40.2021.57470.1577

سرعت طولی جریان بین سیلاب دشت و کانال اصلی موجب کاهش اندرکنش این
دو مقطع می شود. در حالت تخلیه ای جریان از سیلاب دشت به کانال اصلی، محل
وقوع پیشنهادی تنش رینولدز $w/u - \mu$ ^{۲۲} به سمت کانال اصلی جابجا می شود.
مرور کارهای پیشین نشان می دهد که بررسی انتقال جرم بین کانال اصلی و
سیلاب دشت در مطالعات آزمایشگاهی سابقه ای چندانی ندارد و از سال ۲۰۰۵ آغاز
شده است.^{۲۳} همچنین بررسی ها نشان می دهد که در مطالعات پیشین اثر شرایط
وروودی بر توسعه ایشانگی جریان در کانال مرکب به طور کامل انجام نشده است. بر این
اساس در نوشتار حاضر الگوی جریان و پارامترهای جریان آشفته و به طور خاص
شدت های اشتفتگی و تنش های رینولدز در یک کانال مرکب با طول کوتاه بررسی شده
و نتایج آن با ساختار جریان توسعه یافته مورد مقایسه قرار گرفته است. با استفاده از
یافته های این تحقیق می توان دانست که چگونه با افزودن شبکه های ریزتر در ورودی
سیلاب دشت می توان در کانال مرکب با طول کوتاه تر هم به جریان کاملاً توسعه یافته
دست یافت. بدین معنا که مقایسه نتایج الگوی جریان و پارامترهای آشفتگی در
حالت جریان توسعه یافته و توسعه یافته در کانال مرکب، این امکان را به پژوهشگران
فعال در این زمینه می دهد که با استفاده از نتایج نوشتار حاضر، به شکل گیری جریان
توسعه یافته یا توسعه یافته در کانال مرکب آگاهی یابند. بنابراین نتایج این پژوهش
می تواند برای محققان در ساخت مدل های آزمایشگاهی قبل اطمینان کانال مرکب
و همچنین اعتبارسنجی نتایج تحقیقات پیشین مورد استفاده قرار گیرد.

۲. مواد و روش‌ها

آزمایش‌های حاضر در آزمایشگاه هیدرولیک دانشگاه تربیت مدرس در یک کاتال مستقیم مرکب رو باز با شبیث ثابت $50 \times 50 \times 30$ و با مقطع مرکب به طول ۱۱، عرض ۷ و ارتفاع ۰ متر انجام پذیرفت. کاتال آزمایشگاهی مذکور در حقیقت یک کاتال با مقطع مرکب بوده که به علت تقارن، نیمی از آن ساخته شده است. جداره‌های کاتال به صورت قائم و از جنس شیشه بوده و برای تصویربرداری از جریان، مناسب است. با توجه به زبری شیشه، جداره‌ها و گف کاتال از نظر هیدرولیکی صاف است.^[۲۲] برای تنظیم عمق جریان، از یک سرریز در انتهای کاتال استفاده شد. دبی در رودخانه کاتال با استفاده از شیر تنظیم دبی خروجی از پمپ، کسترل و بهوسیله یک دیستچنگ الکترومغناطیسی اندازه‌گیری شد. به منظور حذف تلاطم در ابتدای کاتال از صفحه‌های موادی آرامکتنده حریان استفاده شده است.

در این مطالعه محور x در راستای جریان اصلی و موادی بستر بوده و درجهت پایین دست مثبت در نظر گرفته شده و محور z مربوط به راستای عمود بر جریان و جهت مثبت آن از کف بستر سیلاب داشت به سمت بالاست. در نهایت محور y در راستای عرضی بوده و از دیواره سیلاب داشت به سمت کانال اصلی مشیت است. شرایط هیدرولیکی آزمایش‌های انجام شده به طور خلاصه در جدول ۱ ارائه شده است. بر اساس اطلاعات گزارش شده در این جدول، جریان در کانال مرکب دارای رژیم زیربحارانی و کاملاً آشفته است. کانال مرکب در مطالعه‌ی حاضر از نوع مستطیلی است که عمق جریان در سیلاب داشت و کانال اصلی به ترتیب ۵ و ۲۰ سانتی‌متر است. جریان در کانال مرکب بر اساس نسبت عمق جریان در کانال اصلی به سیلاب داشت (عمق نسبی) برابر ۴ از نوع کم‌عمق محسوب می‌شود.^[۲۵]

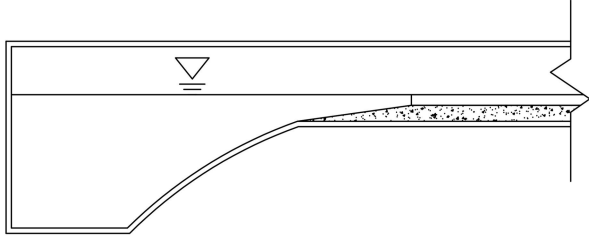
اندازه‌گیری‌ها در فاصله‌ی ۷/۹ متر از ورودی کانال انجام شده است. در این مقاطع نسبت طما به عرض سیلاب داشت معادل ۱۳/۲ خواهد بود که مکتوب است:

دو گردابهی سیلاب دشت و کانال اصلی در ناحیه‌ی اندرکنش به درستی شکل نگیرند.

به طور معمول در مطالعات کاتال های روباز، در انتخاب محل مناسب اندازه گیری جریان معمولاً به توسعه‌ی لایه‌ی مرزی توجه شده و مقطع اندازه گیری در نیمه‌ی دوم پایین دست کاتال انتخاب می‌شود.^[۱۵] اما در کاتال مرکب اگر جریان ورودی به سیلاب دشت و کاتال اصلی از طریق یک مخزن مشترک صورت گیرد (که در بسیاری از مدل‌های آزمایشگاهی این چنین است)، انتقال جرم بین سیلاب دشت و کاتال اصلی تا طول زیادی از ورودی کاتال اتفاق می‌افتد؛ برای اطمینان از توسعه یافتنی جریان، لازم است توزیع مناسب دبی در کاتال اصلی و سیلاب دشت نیز به دقت بررسی شود.^[۱۶] منظور از توزیع مناسب دبی در کاتال مرکب عدم انتقال جرم بین کاتال اصلی و سیلاب دشت است که طول مورد نیاز برای این منظور بیشتر از طول مورد نیاز برای توسعه‌ی لایه‌ی مرزی در کاتال های باز مستطیلی است. عدم توجه دقیق به توسعه یافتنی جریان در کاتال مرکب در برخی از تحقیقات پیشین^[۱۷] می‌تواند صحبت نتایج آن را زیر سوال ببرد. برای فهم بهتر پدیده‌ی عدم انتقال جرم بین کاتال اصلی و سیلاب دشت، یک حجم کنترل از سیال در محدوده سیلاب دشت در نظر می‌گیریم.^[۱۸] سطح تحتانی حجم کنترل منطبق بر بستر سیلاب دشت، سطح فوقانی آن منطبق بر سطح آزاد آب، یک سطح جانبی آن منطبق بر دیواره سیلاب دشت و سطح جانبی دیگر آن منطبق بر سطح اتصال کاتال اصلی و سیلاب دشت است. ورودی و خروجی حجم کنترل در محدوده اندازه گیری (که دارای جریان کاملاً توسعه یافته است^[۱۹]) در نظر گرفته می‌شود. با توجه به عدم انتقال جرم از بستر و دیواره سیلاب دشت و سطح آزاد آب و همچنین یکسان بودن دبی جریان ورودی و خروجی (به دلیل برقراری جریان کاملاً توسعه یافته در این ناحیه)، برای برقراری قانون بقای جرم در این حجم کنترل باید متوسط دبی جریان های ورودی و خروجی از سطح اتصال کاتال اصلی و سیلاب دشت (ناحیه اندرکش) برابر صفر باشد.

بررسی سرعت متوسط عمقی در عرض کانال مرکب نشان می‌دهد که با افزایش فاصله‌ی طولی از ورودی کانال به اندازه‌ی حدداشت $5/6$ برابر عرض سیلاب داشت، عرض لایه‌ی اختلاطی بین کانال اصلی و سیلاب داشت به مقدار تابیتی می‌رسد.^[۱۰] اما برای اطمینان از برقراری توزیع مناسب دبی جریان بین سیلاب داشت و کانال اصلی، باید نسبت طول کانال به عرض سیلاب داشت بزرگ‌تر از $3/5$ باشد.^[۱۱] بنابراین با توجه به محدودیت ساخت کانال‌های بلند، باید برای شکلی جریان توسعه یافته در کانال مرکب تدبیر لازم حافظ شود. در مطالعه‌ی حاضر کانال بالا نسبت طول کانال به عرض سیلاب داشت کوچک‌تر از $3/5$ ، کانال کوتاه نامیده می‌شود. برای برقراری توزیع مناسب جریان در کانال‌های مرکب کوتاه می‌توان از دو ورودی مستقل (با سیستم پیماز مستقل)، برای کانال اصلی و سیلاب داشت یا تعییه‌ی چند صفحه‌ی توری فلزی با شبکه‌ی ریزتر در ورودی سیلاب داشت تحت عنوان آرام‌کننده‌ی کمکی استفاده کرد. ولی کانال‌های آزمایشگاهی مرکب غالباً از یک مخزن مشترک تغذیه شده و امکان تقسیک دبی سیلاب داشت و کانال اصلی وجود ندارد.^[۱۲] در بیشتر آزمایش‌ها معمولاً ساده به کانال مرکب استفاده می‌شود. در این شرایط دبی ورودی به سیلاب داشت در ابتدای کانال بیشتر از ظرفیت آن است که به تدریج در طول کانال به کانال اصلی تخلیه شود.^[۱۳]

مطالعات پیشین نشان می‌دهد که جریان عرضی به طور قابل ملاحظه‌یی ساختار جریان آشفته را تغیر می‌دهد. در شرایط جریان تسویه‌نیافته گردابه‌های افقی بین کانال اصلی و سیلاب دشت شکل نمی‌گیرد. در این حالت یکنواختی بیشتر سرعت طوا جریان در سلان دشت و کانال اصل محمد دارد.^[۲۲] یکنواخته داشت



الف) مقطع طولی مخزن و سازه تبدیل در ابتدای کاتال مركب؛



ب) ورودی آرام کننده یکسان در کاتال اصلی و سیلاب دشت؛



ج) ورودی آرام کننده کمکی (تعییه‌ی چند لایه توری فلزی در ورودی سیلاب دشت)
کاتال مركب.

شکل ۱. سازه تبدیل مقطع مستطیلی به کاتال مركب و انواع ورودی.

همراه است،^[۲۸] ذرات الک شده پلیولایت^۲ با اندازه‌ی ۳۰۰ تا ۶۰۰ میکرومتر و چگالی ۱/۰۳ گرم در سانتی‌متر مکعب به عنوان مواد ریدیاب در آب استفاده شد. این نوع ذرات توسط پژوهش‌گران دیگر نیز در روش سرعت‌سنجی تصویری ذرات به کار رفته است.^[۲۹] در هر برداشت، مواد ریدیاب در ورودی کاتال تزریق شد. تزریق ذرات هدف (مواد ریدیاب) به‌گونه‌یی انجام شد تا توزیع همگنی از این ذرات به دست آید.

پردازش و تحلیل تصاویر با استفاده از نرم‌افزار PIVLab انجام شد.^[۳۰] فرکانس زمان نمونه برداشی به ترتیب حدود ۴۵ هرتز و ۸۰ ثانیه بوده است. بر اساس پژوهش‌های دیگر پژوهش‌گران زمان و فرکانس نمونه برداری مذکور برای اندازه‌گیری سرعت در کاتال مركب کافی به نظر می‌رسد.^[۳۱] با توجه به تحقیقات پیشین می‌توان عدم قطعیت در اندازه‌گیری پارامترهای مستقل را با فرض توزیع نرمال برآورد کرد.^[۳۲] بر این اساس عدم قطعیت پیشینه اندازه‌گیری سرعت طولی جریان با سطح اطمینان ۹۵ درصد برابر $۰^{+۰}_{-۰}$ سانتی‌متر بر ثانیه است.

برای بررسی دقت اندازه‌گیری دستگاه سرعت‌سنجی تصویری ذرات، باید مقادیر اندازه‌گیری شده را با مقادیر واقعی یا نظری مقایسه کرد. یکی از راه‌های به دست آوردن دقت دستگاه سرعت‌سنجی تصویری ذرات، مقایسه مقادیر سرعت طولی

جدول ۱. مشخصات هیدرولیکی آزمایش‌ها.

۵	عمق جریان در سیلاب دشت (سانتی‌متر)
۲۰	عمق جریان در کاتال اصلی (سانتی‌متر)
۴	عمق نسبی
۳۹	دبی (لیتر در ثانیه)
۰,۳۵	سرعت متوسط (متر در ثانیه)
۰,۳۴	عدد فرود
$۲,۸ \times 10^4$	عدد رینولدز (با فرض شعاع هیدرولیکی به عنوان طول مشخصه)

(نسبت طول به عرض سیلاب دشت قابل اطمینان برای توزیع مناسب دبی در کاتال مركب) است. بنابراین با توجه به نتایج تحقیقات پیشین،^[۱۲] این کاتال مركب از نوع کوتاه بوده و در صورت عدم استفاده از تمیهات خاص در ورودی، توزیع مناسب دبی در این کاتال به طور صحیح انجام نخواهد شد.

در این تحقیق مقطع مستطیلی توسط یک سطح شبیه‌دار با شبیه ثابت به مقطع مركب تبدیل می‌شود. این سازه تبدیل دارای عرض ۶۰ سانتی‌متر (معادل عرض سیلاب دشت) بوده و در طول ۱ متر، تراز کاتال را ۱۵ سانتی‌متر افزایش می‌دهد که مقطع طولی آن در شکل ۱ الف نمایش داده است.

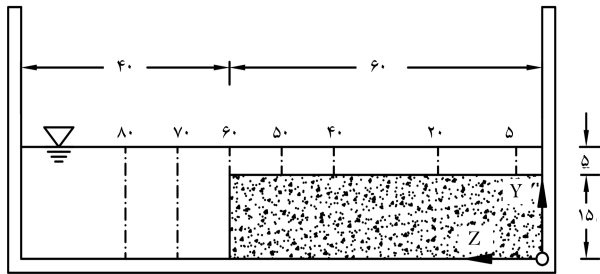
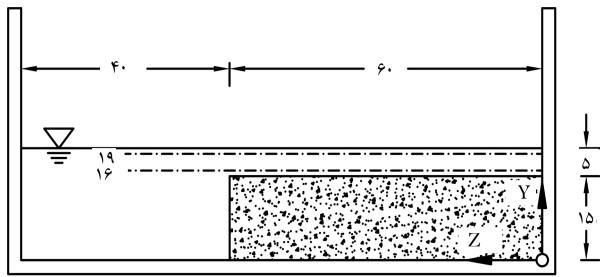
اندازه‌گیری میدان جریان در کاتال مركب با دو نوع شرایط ورودی به شرح زیر موردن بررسی قرار گرفته است:

۱. ورودی آرام کننده یکسان در کاتال اصلی و سیلاب دشت: در این حالت در انتهای مقطع تبدیل، صفحات آرام کننده جریان تعییه شده‌اند (شکل ۱ - ب):

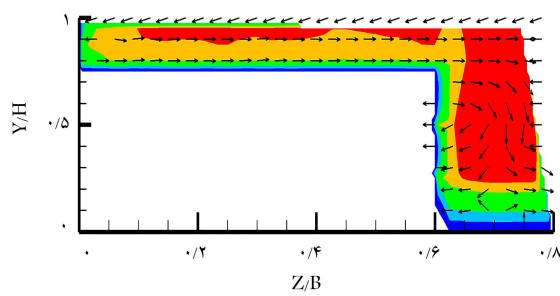
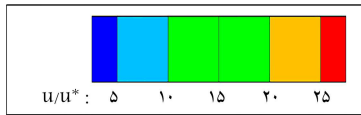
۲. ورودی آرام کننده کمکی: در این حالت علاوه بر وجود آرام کننده یکسان در کاتال اصلی و سیلاب دشت، در ورودی سیلاب دشت از ۲۰ صفحه‌ی توری فلزی اضافی استفاده شده است تا دبی ورودی به سیلاب دشت را کاهش دهد (شکل ۱ - ج).

شایان ذکر است به دلیل کوتاه بودن طول کاتال، در شرایط عدم اصلاح ورودی کاتال مركب (ورودی آرام کننده یکسان در کاتال اصلی و سیلاب دشت) جریان در محل اندازه‌گیری به صورت توسعه‌نیافته خواهد بود. اما با افزودن آرام کننده کمکی، کاتال مركب به‌گونه‌یی اصلاح شد که در محل اندازه‌گیری، جریان کاملاً توسعه‌یافته (عدم انتقال جرم بین کاتال اصلی و سیلاب دشت) حاصل شد. اصلاح ورودی کاتال مركب با استفاده از سعی و خطأ و با تغییر دادن تعداد صفحات توری‌های فلزی انجام گرفت. بدین ترتیب که با تغییر تعداد صفحه‌ی توری فلزی و برداشت چند صفحه‌ی افقی و عمودی در ناحیه‌ی اندازش، تعداد مناسب توری‌های اضافی برای برقراری گردابه‌های کاتال مركب تعیین شد.

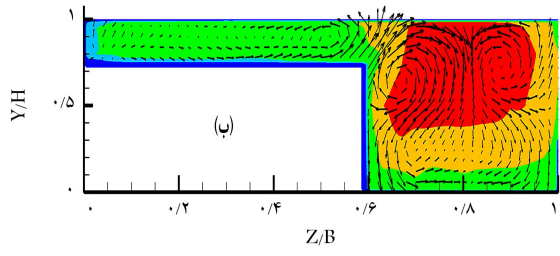
به‌منظور اندازه‌گیری صحیح سرعت (مخصوصاً سرعت عرضی و قائم که مقدار بسیار کوچکی دارند)، استفاده از ابزار اندازه‌گیری غیرنظامی اهمیت دارد. بنابراین برای اندازه‌گیری میدان جریان از دستگاه سرعت‌سنجی تصویری ذرات^۱ به صورت دو بعدی و دوم‌ولفه‌یی استفاده شد. مشخصات دستگاه سرعت‌سنجی تصویری ذرات موردن استفاده در این تحقیق،^[۳۳] به تفصیل ارائه شده است. روش سرعت‌سنجی تصویری ذرات امکان اندازه‌گیری سرعت جریان در همه عمق‌ها را با دقت مناسب فراهم می‌کند، در حالی که اندازه‌گیری سرعت با سایر روش‌ها مانند روش سرعت‌سنج صوتی داپلر در نزدیکی سطح آب امکان‌پذیر نبوده و در نزدیکی جداره‌ها با خطأ



شکل ۳. صفحات برداشت افقی و عمودی در کanal مرکب (همه‌ی ابعاد برحسب سانتی‌متر است).

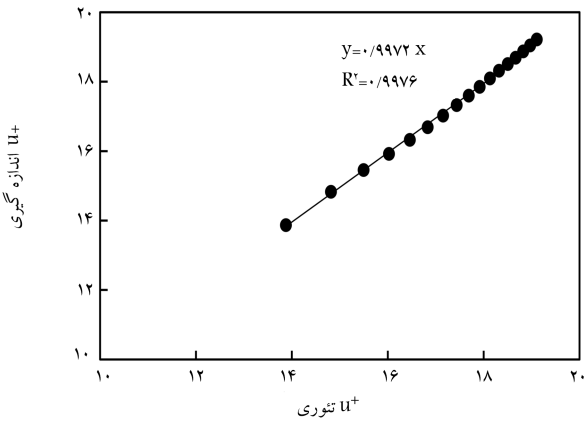


الف) توسعه نیافته؛



ب) توسعه یافته.

شکل ۴. بردارهای سرعت جریان ثانویه در کanal مرکب.



شکل ۲. نمودار u^+ اندازه‌گیری شده توسط دستگاه سرعت‌سنجی تصویری ذرات بر حسب u^+ نظری در محدوده $y^+ < 30$.

جریان در کanal مستطیلی ساده (در حالت جریان دو بعدی) با روابط نظری (اپروفیل سرعت لگاریتمی در راستای عمق جریان) است. به دلیل یکسو شدن جریان در منطقه‌ی نزدیک بستر و دوری از زیرلایه‌ی لزج، قادر به لگاریتمی سرعت در محدوده $y^+ < 30$ نیست [۲۴]. طبق تعریف $u^+ = y u_{*b} / v$ است که در آن u_{*b} سرعت برشی کف، y عمق جریان و v لزجت سینماتیکی است. بر این اساس در شکل ۲ نمودار u^* (سرعت طولی متوسط) اندازه‌گیری شده توسط دستگاه سرعت‌سنجی تصویری ذرات برحسب u^+ نظری در محدوده $y^+ < 30$ ترسیم شده است. در تابعیه‌ی برقراری رابطه‌ی لگاریتمی سرعت و در یک کanal مستطیلی با بستر صاف، u^+ و u^+ با استفاده از رابطه‌ی ۱ به هم مرتبط می‌شوند: [۲۵]

$$u^+ = 2,44 L n y^+ + 5,29 \quad (1)$$

چنان که در شکل ۲ مشاهده می‌شود ضریب همبستگی بین مقادیر u^+ اندازه‌گیری شده و نظریه نزدیک به ۱ است، که این نشان از دقت خوب دستگاه سرعت‌سنجی تصویری ذرات در اندازه‌گیری سرعت جریان است.

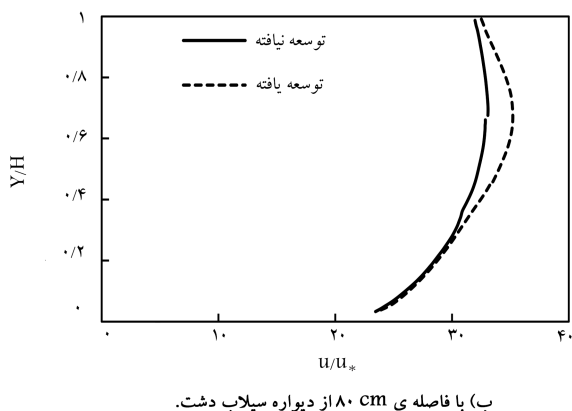
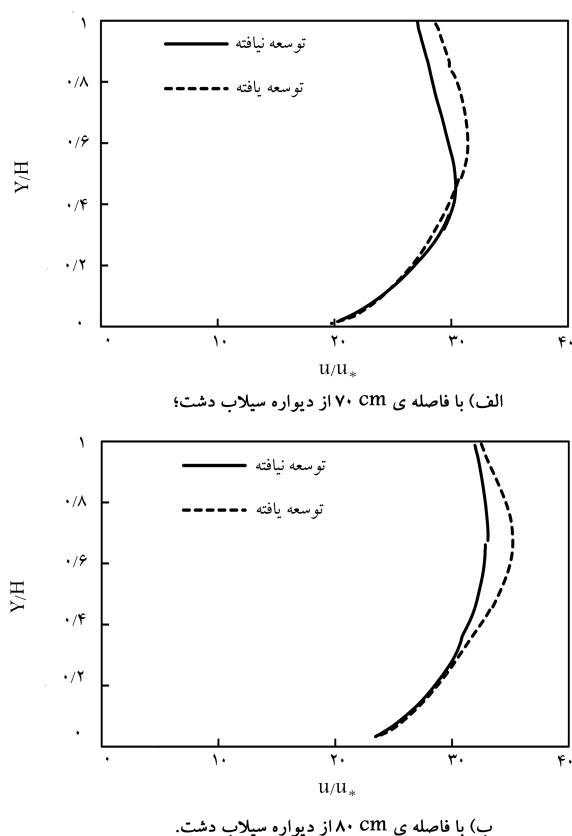
در این تحقیق، میدان جریان در چند صفحه‌ی افقی و قائم برداشت شد. برداشت جریان در راستای عمودی به موازات دیواره‌های کanal و در راستای افقی به موازات بستر کanal انجام شد. صفحات عمودی در ۷ مقطع به فواصل ۵، ۲۰، ۴۰، ۶۰، ۷۰، ۸۰ سانتی‌متر از دیواره‌ی سیلاند داشتند. همچنین دو صفحه‌ی افقی به فاصله‌های ۱۶ و ۱۹ سانتی‌متر از دیواره‌ی سیلاند داشتند. همچنین در کanal به فاصله‌ی صفر تا ۸۰ سانتی‌متر از دیواره‌ی سیلاند داشتند. صفحات اندازه‌گیری افقی و عمودی به صورت خط‌چین در شکل ۳ نشان داده شده است.

۳. نتایج

۱.۳. الگوی جریان

در این بخش الگوی جریان در کanal مرکب در دو حالت جریان توسعه‌یافته و توسعه‌نیافته مقایسه شده است. در ابتدا برای روشن شدن نحوه انتقال موسمت عرضی بین سیلاند داشت و کanal اصلی، در شکل ۴ بردارهای سرعت جریان ثانویه در سطح مقطع کanal مرکب در دو حالت مذکور ارائه شده است. در هر یک از این

به دلیل اهمیت برقراری جریان کاملاً توسعه‌یافته در کanal مرکب، در این بخش ابتدا الگوی جریان و پارامترهای آشفتگی در دو حالت جریان توسعه‌یافته (عدم انتقال جرم بین کanal اصلی و سیلاند داشت) و جریان توسعه‌نیافته (وقوع انتقال جرم بین کanal اصلی و سیلاند داشت) با هم مقایسه شده است، تا تفاوت‌های این دو نوع جریان در کanal مرکب مشخص شود.

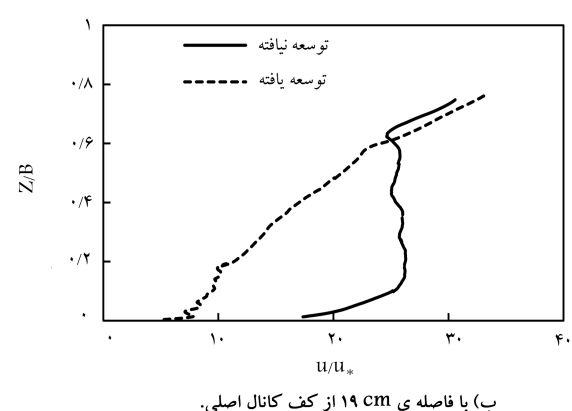
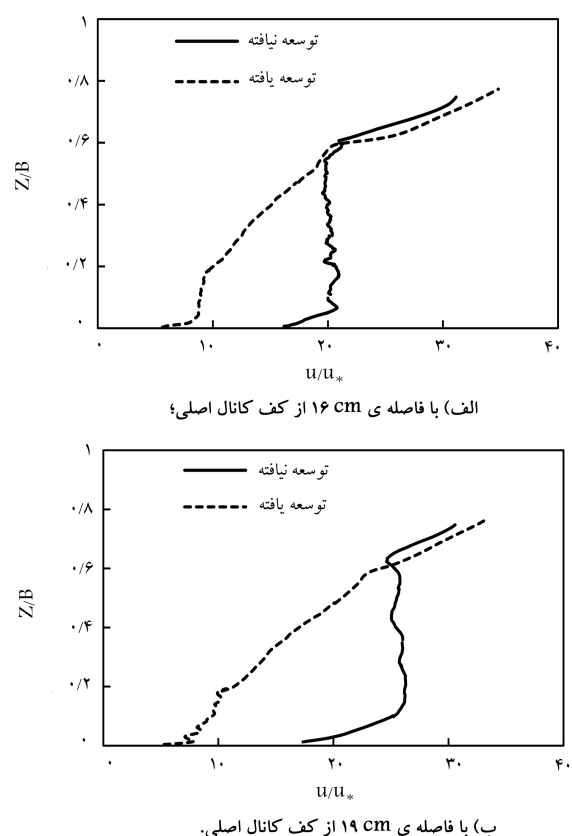


شکل ۶. پروفیل عمتمی سرعت متوسط طولی در حالت جریان توسعه یافته و توسعه نیافته در صفحه قائم.

با توجه به این نمودارها می‌توان دریافت که در هر دو صفحه افقی در حالت جریان توسعه نیافته، سرعت متوسط طولی در سیلاب داشت (به جز در ناحیه اطراف دیواره جانبی) تقریباً یکنواخت است. برای نمونه در صفحه افقی با فاصله $Y/H = 19$ سانتی‌متر از کف کاتال اصلی، مقادیر سرعت متوسط طولی بی‌بعد در حالت جریان توسعه یافته در عرض نسبی $0,05$ تا $0,06$ از u_* افزایش یافته است، در حالی که در حالت جریان توسعه نیافته از $0,05$ تا $0,06$ تغییر کرده است. عدم تغییر سرعت در عرض سیلاب داشت در حالت جریان کم عمق در سیلاب داشت با نتایج مرجع^[۲۶] مغایرت دارد. این موضوع نشان از عدم اندرکنش کامل سیلاب داشت و کاتال اصلی در حالت جریان توسعه نیافته است. سرعت طولی تقریباً یکسان در عرض سیلاب داشت در حالت جریان توسعه نیافته نشان می‌دهد که جریان در سیلاب داشت مشابه یک کاتال مستطیلی ساده است. از سوی دیگر در شرایط جریان توسعه یافته در سیلاب داشت، سرعت طولی جریان در عرض سیلاب داشت تغییر قابل ملاحظه‌ی دارد و با نزدیک شدن به کاتال اصلی، به شدت افزایش می‌یابد. یکنواختی بیشترین سرعت طولی جریان در سیلاب داشت و کاتال اصلی در حالت جریان توسعه نیافته با نتایج مرجع^[۲۷] همخوانی دارد.

نکته‌ی دیگر که در بررسی شکل ۵ حائز اهمیت است، برقراری سرعت بیشتر در سیلاب داشت در حالت جریان توسعه نیافته نسبت به حالت جریان توسعه یافته است. این مطلب نشان‌گر آن است که در حالت جریان توسعه نیافته، دبی عبوری از سیلاب داشت بیشتر از ظرفیت واقعی آن است و حتی در بازه اندازه‌گیری نیز انتقال جرم از سیلاب داشت به کاتال اصلی وجود دارد.

در شکل ۶ مقادیر بی‌بعد سرعت متوسط طولی در راستای قائم در دو حالت



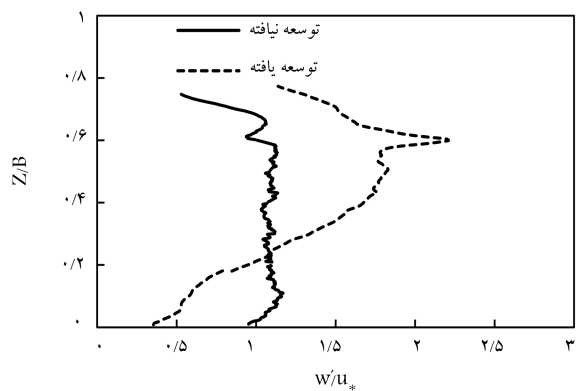
شکل ۵. پروفیل سرعت متوسط طولی در عرض کاتال در حالت جریان توسعه یافته و توسعه نیافته در صفحه افقی.

دو شکل، تصویر پیش‌زمینه نشان‌گر سرعت طولی بی‌بعد شده با استفاده از سرعت برشی مقطع ($u_* = \sqrt{g R S_f}$ ، g شتاب گرانش، R شعاع هیدرولیکی و S_f شب خط انرژی) است.

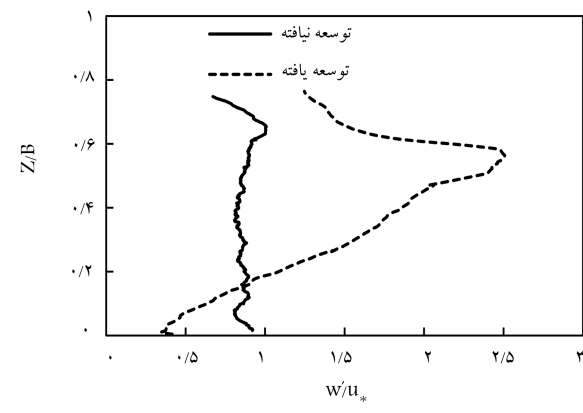
با دقت در این تصاویر می‌توان دریافت که در حالت توسعه نیافته، انتقال جرم از سیلاب داشت به کاتال اصلی وجود دارد. این در حالی است که با اصلاح و رویدی، انتقال جرم در کاتال مرکب به صفر رسیده است و گردابه‌های کاتال اصلی و سیلاب داشت به طور کامل تشکیل شده‌اند. همان‌طور که بیان شد عمل انتقال جرم بین کاتال اصلی و سیلاب داشت، طول کم کاتال برای برقراری تعادل در توزیع دبی در کاتال مرکب است؛ به عبارت دیگر دبی عبوری از سیلاب داشت در ورودی پیش از ظرفیت آن بوده و در طول کاتال، جرم از سیلاب داشت به کاتال اصلی تخلیه می‌شود.^[۱۴]

لازم به توضیح است که یکی از برتری‌های این مطالعه نسبت به دیگر مطالعات انجام شده در زمینه‌ی توزیع مناسب دبی بین سیلاب داشت و کاتال اصلی این است که در این تحقیق با ترسیم بردارهای جریان ثانویه در مقطع کاتال، از برقراری گردابه‌های جریان یا انتقال جرم بین سیلاب داشت و کاتال اصلی اطمینان حاصل شده است.

در شکل ۵ مقادیر بی‌بعد سرعت متوسط طولی در راستای عرض کاتال مرکب در دو حالت جریان توسعه یافته و توسعه نیافته برای دو صفحه افقی با فاصله‌های $Z/B = 16$ و 19 سانتی‌متر از کف کاتال اصلی نشان داده شده‌اند. منظور از سرعت متوسط طولی، میانگین زمانی سرعت‌های طولی جریان در مدت زمان اندازه‌گیری است. در این نمودارها مقادیر سرعت متوسط طولی با استفاده از سرعت برشی مقطع (u_*) و محور قائم با استفاده از عرض کاتال مرکب (Z/B) بی‌بعد شده است.



الف) با فاصله‌ی 16 cm از کف کanal اصلی؛



ب) با فاصله‌ی 19 cm از کف کanal اصلی.

شکل ۷. پروفیل شدت آشفتگی عرضی در عرض کanal در حالت جریان توسعه‌یافته و توسعه نیافته در صفحه‌ی افقی.

این نشان از عدم کارایی ورودی اصلاح نشده در کanal مرکب با طول کوتاه است. شایان ذکر است که مقادیر شدت آشفتگی عرضی در حالت جریان توسعه نیافته به مراتب کم تر از جریان توسعه نیافته است که این نشان دهنده عدم اندرکنش مناسب در جریان توسعه نیافته است.

در شکل ۸ پروفیل مقادیر $\sqrt{w^*}/u^*$ در راستای عرض کanal مرکب در دو حالت جریان توسعه نیافته و توسعه نیافته برای دو صفحه‌ی افقی با فاصله‌ی 16 و 19 سانتی‌متر از کف کanal اصلی نشان داده شده است. در این پارامتر u^* و w^* به ترتیب مؤلفه‌ی نوسانی سرعت در راستای طولی و عرضی هستند.

با دقت در شکل ۸ می‌توان دریافت در حالت جریان توسعه نیافته مقادیر $\sqrt{w^*}/u^*$ در سیلاند داشت نزدیک به صفر و بسیار کوچک هستند که بر اساس فرضیه بوزینسک، این پذیده به دلیل عدم تغییر سرعت متوسط طولی جریان در راستای عرض سیلاند داشت است.

مقادیر $\sqrt{w^*}/u^*$ در سیلاند داشت در شرایط جریان توسعه نیافته در بازه $0\text{--}0.5$ قرار دارد، در حالی که در حالت جریان توسعه نیافته در بازه $1\text{--}0.5$ تا 2.95 تغییر می‌کند. مقادیر نزدیک به صفر $\sqrt{w^*}/u^*$ در سیلاند داشت نشانگر قوع جریان مشابه با جریان دو بعدی در کanal ساده مستطیلی است. از سوی دیگر در حالت جریان توسعه نیافته تغییرات مقادیر $\sqrt{w^*}/u^*$ در راستای عرض کanal بسیار شدید بوده که ناشی از اندرکنش قابل توجه بین سیلاند داشت و کanal اصلی است. تغییرات شدید مقادیر $\sqrt{w^*}/u^*$ در راستای عرض کanal مرکب در دیگر تحقیقات در

جریان توسعه نیافته و توسعه نیافته برای دو صفحه‌ی عمودی با فاصله‌ی 70 و 80 سانتی‌متر از دیواره سیلاند داشت نشان داده اند. در این نمودارها مقدیر سرعت متوسط طولی با استفاده از سرعت برشی مقطع (u_{**}) و محور قائم با استفاده از عمق جریان در کanal اصلی (H) بی‌بعد شده اند.

با دقت در شکل ۶ - الگ می‌توان دریافت که محل رخداد بیشینه‌ی سرعت در حالت جریان توسعه نیافته به طور قابل توجهی پایین‌تر از حالت توسعه نیافته است. محل وقوع بیشینه‌ی سرعت در حالت جریان توسعه نیافته و توسعه نیافته به ترتیب برابر $49,0$ و $66,0$ ارتفاع جریان از کف کanal اصلی است. این در حالی است که در تحقیقات مشابه در کanal مرکب (با عمق نسبی $25,0$) محل وقوع بیشینه سرعت حدود $65,0$ ارتفاع جریان از کف کanal اصلی گزارش شده است.^[۲۱] بدین ترتیب محل سرعت بیشینه در حالت جریان توسعه نیافته (استفاده از آرام‌کننده‌ی کمکی در سیلاند داشت) به نتایج تحقیقات پیشین نزدیک‌تر است.

پایین آمدن محل رخداد سرعت بیشینه‌ی جریان در حالت جریان توسعه نیافته نسبت به جریان توسعه نیافته با مطالعات مراجع^[۱۰] نیز همخوانی دارد. بدین ترتیب یکی از روش‌های کاربردی اطمینان از توزیع دبی مناسب بین سیلاند داشت و کanal اصلی، توجه به محل وقوع دبی بیشینه جریان است.

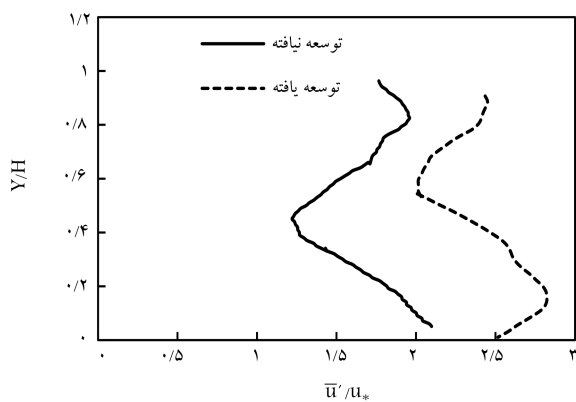
نکته‌ی دیگری که در شکل ۶ می‌توان مشاهده کرد، سرعت بیشتر جریان در کanal اصلی در حالت جریان توسعه نیافته با مطالعات مرجع^[۱۰] همخوانی دارد. بدین ترتیب در حالت جریان توسعه نیافته دبی عبوری از سیلاند داشت بیشتر از ظرفیت واقعی آن است و به همین دلیل در حالت جریان توسعه نیافته انتقال جرم از سیلاند داشت به کanal اصلی وجود دارد.^[۱۲]

۳. پارامترهای آشفتگی

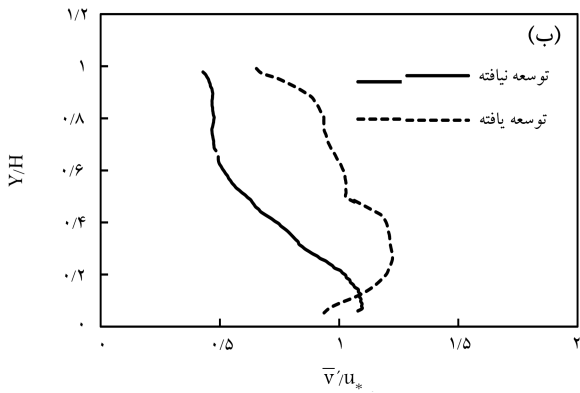
در این بخش پارامترهای آشفتگی جریان در کanal مرکب در دو حالت جریان توسعه نیافته و توسعه نیافته مورد مقایسه قرار گرفته است.

در شکل ۷ مقادیر شدت آشفتگی عرضی ($\sqrt{w^*}$) در راستای عرض کanal مرکب در دو حالت مذکور برای دو صفحه‌ی افقی با فاصله‌های 16 و 19 سانتی‌متر از کف کanal اصلی نشان داده شده است. شدت آشفتگی عرضی با استفاده از رابطه‌ی $\sqrt{w^*}$ به دست می‌آید که در آن w^* نوسان مؤلفه‌ی عرضی سرعت جریان است. با دقت در این نمودارها می‌توان دریافت که مقادیر شدت آشفتگی عرضی در حالت جریان توسعه نیافته در عرض سیلاند داشت تقریباً یکساخن بوده و در محل اندرکنش افزایش نمی‌یابد. این در حالی است که در حالت جریان توسعه نیافته مقادیر شدت آشفتگی عرضی از دیواره سیلاند داشت تا محل اتصال کanal اصلی و سیلاند داشت بهشت افزایش یافته و سپس در کanal اصلی روند کاهشی دارد. به بیان دیگر مقادیر شدت آشفتگی عرضی در حالت جریان توسعه نیافته در سیلاند داشت در بازه $0\text{--}2.5$ قرار دارد، در حالی که در حالت جریان توسعه نیافته در بازه $0\text{--}0.7$ تغییر می‌کند.

در کanal مرکب توسعه نیافته به دلیل گردایان شدید سرعت بین مقطع اصلی و سیلاند داشت و شکل‌گیری جریان‌های ثانویه در اطراف ناحیه اندرکنش (شکل ۴ - ب)، تغییرات پارامترهای آشفتگی جریان (مانند شدت آشفتگی عرضی) در راستای عرض کanal بسیار شدید است و این تغییرات در ناحیه اندرکنش به حداقل مقدار خود می‌رسد. عدم تغییر شدت آشفتگی عرضی در عرض سیلاند داشت در حالت جریان توسعه نیافته با تحقیقات دیگر پژوهش‌گران (با عمق نسبی $25,0$) سازگاری ندارد.^[۲۷, ۳۲] که



الف) شدت آشنتگی طولی در صفحه‌ی عمودی به فاصله‌ی ۷۰ cm از دیواره‌ی سیلاب دشت؛

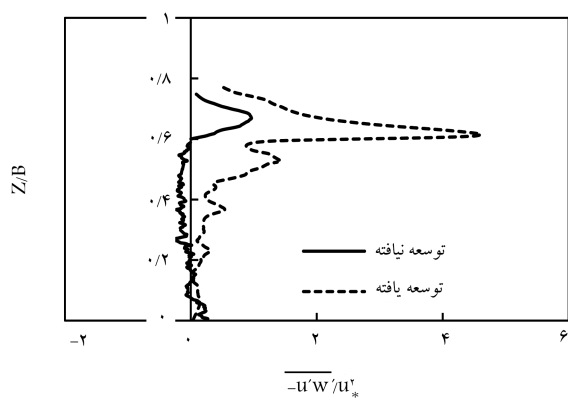


ب) شدت آشنتگی قائم در صفحه‌ی عمودی به فاصله‌ی ۸۰ cm از دیواره‌ی سیلاب دشت.

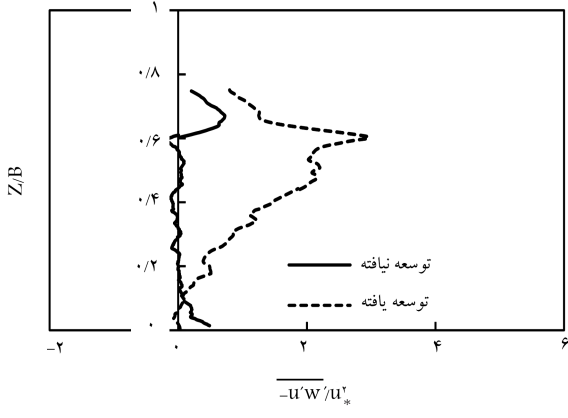
شکل ۹. پروفیل عمقی شدت آشنتگی در حالت جریان توسعه‌یافته و توسعه‌نیافته. در شکل ۹ - ب نیز مقادیر بی‌بعد شدت آشنتگی قائم (\bar{v}') برای دو حالت جریان توسعه‌یافته و توسعه‌نیافته در صفحه‌ی عمودی با فاصله‌ی 80° سانتی‌متر از دیواره‌ی سیلاب دشت نشان داده شده است. شدت آشنتگی قائم با استفاده از رابطه‌ی $\bar{v}' = \sqrt{\bar{v}^2 + \bar{w}^2}$ به دست می‌آید که در آن \bar{v}' نوسان مؤلفه‌ی عمودی سرعت جریان است. همان‌طور که در این شکل مشاهده می‌شود مقادیر شدت آشنتگی قائم در جریان توسعه‌یافته به‌طور قابل توجهی بیشتر از جریان توسعه‌نیافته است. به بیان دقیق‌تر در صفحه‌ی عمودی با فاصله‌ی 80° سانتی‌متر از دیواره‌ی سیلاب دشت، شدت آشنتگی قائم به‌طور متوسط در حالت جریان توسعه‌یافته حدود 61% بیشتر از جریان توسعه‌نیافته است. همان‌طور که گفته شد این پدیده به دلیل اندرکنش شدید بین سیلاب دشت و کanal اصلی و درنتیجه افزایش شدت آشنتگی قائم در کanal مرکب با وجود اصلاح شده رخ داده است.

در شکل ۹ - ا پروفیل مقادیر \bar{w}'/\bar{v}' برای جریان توسعه‌یافته و توسعه‌نیافته در صفحه‌ی عمودی با فاصله‌ی 80° سانتی‌متر از دیواره‌ی سیلاب دشت نشان داده شده است.

چنان‌که در این شکل نیز مشاهده می‌شود مقادیر بی‌بعد تنش برشی رینولدز قائم در حالت جریان توسعه‌یافته به‌طور قابل توجهی بیشتر از جریان توسعه‌نیافته است که این پدیده به دلیل اندرکنش شدید در کanal مرکب با جریان توسعه‌یافته است. این پدیده با نتایج مرجع [۲۱] همخوانی دارد. با دقت در شکل ۹ می‌توان دریافت که پیشینه‌ی مقادیر \bar{w}'/\bar{v}' در حالت جریان توسعه‌نیافته در نزدیکی سیلاب دشت نشان داده است.



الف) با فاصله‌ی ۱۶ cm از کف کanal اصلی؛



ب) با فاصله‌ی ۱۹ cm از کف کanal اصلی.

شکل ۸. پروفیل مقادیر \bar{w}'/\bar{v}' در راستای عرض کanal در حالت جریان توسعه‌یافته و توسعه‌نیافته در صفحه‌ی افقی.

خصوص کanal مرکب گزارش شده است [۳۷, ۳۲] که ناشی از انتقال مومنتم شدید بین کanal اصلی و سیلاب دشت است.

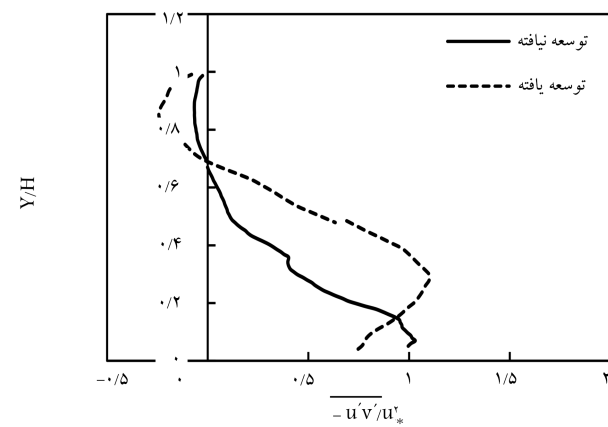
با دقت در شکل ۸ می‌توان دریافت که پیشینه‌ی مقادیر \bar{w}'/\bar{v}' در حالت توسعه‌یافته در عرض نسبی تقریبی 0.65 واقع می‌شود. این پدیده یعنی جابه‌جایی مقادیر بالای \bar{w}'/\bar{v}' از ناحیه‌ی اندرکنش به کanal اصلی با نتایج مرجع [۲۰] همخوانی دارد.

در شکل ۹ - الف مقادیر شدت آشنتگی طولی (\bar{u}') به صورت بی‌بعد برای جریان توسعه‌یافته و توسعه‌نیافته در صفحه‌ی عمودی با فاصله‌ی 70° سانتی‌متر از دیواره‌ی سیلاب دشت نشان داده است. شدت آشنتگی طولی با استفاده از رابطه‌ی $\bar{u}' = \sqrt{\bar{u}^2 + \bar{v}^2 + \bar{w}^2}$ به دست می‌آید که در آن \bar{u}' نوسان مؤلفه‌ی طولی سرعت جریان است.

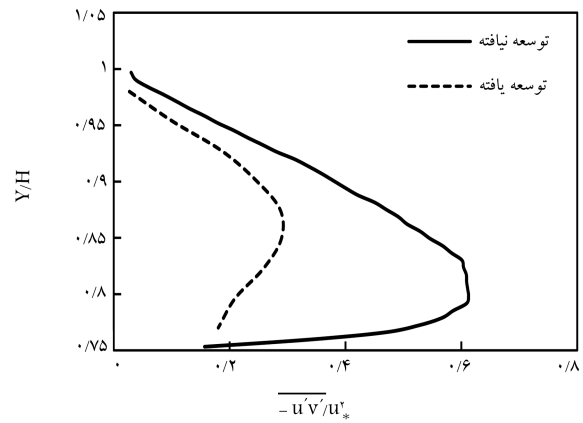
همان‌طور که در این شکل مشاهده می‌شود مقادیر شدت آشنتگی طولی در حالت جریان توسعه‌یافته به‌طور قابل توجهی بیشتر از جریان توسعه‌نیافته است. به بیان دقیق‌تر در صفحه‌ی عمودی با فاصله‌ی 70° سانتی‌متر از دیواره سیلاب دشت، شدت آشنتگی طولی به‌طور متوسط در حالت جریان توسعه‌یافته حدود 48% درصد بیشتر از جریان توسعه‌نیافته است. این پدیده به دلیل اندرکنش شدید بین سیلاب دشت و کanal اصلی و درنتیجه افزایش شدت آشنتگی طولی در کanal مرکب با جریان توسعه‌یافته رخ داده است. در حالی که در شرایط جریان توسعه‌نیافته، به دلیل طول کanal مرکب و عدم تشکیل گرداب‌ها در ناحیه‌ی اندرکنش، مقادیر شدت آشنتگی طولی در اطراف این ناحیه کم‌تر است.

مستطیلی مرکب به بررسی اثر شرایط ورودی در توسعه یافته‌گی جریان پرداخته شد. بر اساس مشاهدات، موارد زیر قابل اشاره است:

- در حالت جریان توسعه یافته، به دلیل طول کوتاه کanal مرکب، انتقال جرم از سیلاند داشت به کanal اصلی وجود دارد. در این حالت محل سرعت بیشینه در کanal اصلی (در نزدیکی ناحیه‌ی اندرکنش) به طور قابل توجهی پایین‌تر از نقاط گزارش شده در کanal مرکب است و این پدیده می‌تواند میدان جریان را در کanal مرکب کاملاً تحت تأثیر خود قرار دهد؛
- در حالت وقوع انتقال جرم عرضی (جریان توسعه یافته)، سرعت طولی جریان در عرض سیلاند داشت تقریباً یکنواخت است، در حالی‌که در شرایط عدم وجود انتقال جرم (جریان توسعه یافته)، سرعت طولی جریان در عرض سیلاند داشت تغییر قابل ملاحظه‌ی دارد؛
- در حالت جریان توسعه یافته، الگوی جریان و آشفتگی در سیلاند داشت و در نواحی دور از ناحیه‌ی اندرکنش و دور از دیواره‌ی سیلاند داشت، با کanal مستطیلی ساده مشابه دارد. پروفیل شدت آشفتگی و همچنین تنفس برشه رینولدز در راستای عمق سیلاند داشت، مشابه کanal مستطیلی بوده و بیشینه‌ی آن‌ها در نزدیکی کف رخ می‌دهند و با نزدیک شدن به سمت سطح آزاد، کاهش می‌یابند؛
- شدت آشفتگی و تنفس برشه رینولدز قائم در کanal اصلی (در اطراف ناحیه اندرکنش) در حالت جریان توسعه یافته بیشتر از جریان توسعه یافته است که این نشان از اندرکنش شدیدتر در حالت جریان توسعه یافته است.



شکل ۱۰. پروفیل عمقی مقادیر $\frac{Y}{H}$ در صفحه‌ی عمودی با فاصله‌ی $\frac{-U'/V'}{U'_*}$ سانتی‌متر از دیواره‌ی سیلاند داشت در حالت جریان توسعه یافته و توسعه یافته.



شکل ۱۱. پروفیل عمقی مقادیر $\frac{Y}{H}$ در صفحه‌ی عمودی با فاصله‌ی $\frac{-U'/V'}{U'_*}$ سانتی‌متر از دیواره‌ی سیلاند داشت در حالت جریان توسعه یافته و توسعه یافته.

حالی که در حالت جریان توسعه یافته به واسطه‌ی گردابه‌های واقع در نزدیکی بستر بیشینه‌ی مقدار پروفیل در فاصله‌ی $\frac{1}{3}$ عمق جریان از کف کanal اصلی رخ می‌دهد. در نهایت در شکل ۱۱ پروفیل مقدار $\frac{Y}{H}$ برای جریان توسعه یافته و توسعه یافته در صفحه‌ی عمودی با فاصله‌ی $\frac{-U'/V'}{U'_*}$ سانتی‌متر از دیواره‌ی سیلاند داشت (در محدوده سیلاند داشت) ارائه شده است. همان‌طور که در این شکل مشاهده می‌شود مقادیر بی‌بعد تنفس برشه رینولدز قائم در حالت جریان توسعه یافته بیشتر از توسعه یافته است که براساس فرضیه بوزنسک، این پدیده به دلیل تغییرات بیشتر سرعت متوسط طولی جریان در راستای عمق سیلاند داشت در حالت جریان توسعه یافته نسبت به جریان توسعه یافته است.

با دقت در شکل ۱۱ می‌توان دریافت که بیشینه‌ی مقدار $\frac{Y}{H}$ در حالت جریان توسعه یافته در نزدیکی بستر رخ می‌دهد که این رفتار در کanal‌های مستطیلی ساده قابل مشاهده است.^[۲۵، ۲۶] این در حالی است که در حالت جریان توسعه یافته، بیشینه‌ی پروفیل با فاصله از کف کanal اصلی رخ می‌دهد.

۴. نتیجه‌گیری

در مطالعه‌ی حاضر به کمک روش سرعت‌سنجی تصویری ذرات در پک کanal

- ### فهرست عالم
- B: عرض کanal مرکب؛
g: شتاب گرانش؛
H: عمق جریان در کanal اصلی؛
R: شعاع هیدرولیکی؛
S_r: شبی خط انحری؛
 \bar{u} : سرعت طولی متوسط؛
 u^+ : سرعت طولی متوسط بی‌بعد؛
 u_* : سرعت برشه مقطع؛
 u_{*b} : سرعت برشه کف؛
 u : نوسان مؤلفه طولی سرعت جریان؛
 u' : شدت آشفتگی طولی؛
 u''/v' : همبستگی مؤلفه‌های نوسانی طولی و قائم سرعت؛
 w : همبستگی مؤلفه‌های نوسانی طولی و عرضی سرعت؛
 v : نوسان مؤلفه قائم سرعت جریان؛
 w : نوسان مؤلفه عرضی سرعت جریان؛
 w' : شدت آشفتگی عرضی؛
 y : عمق جریان؛
 y^+ : عمق جریان بی‌بعد؛
 ρ : چگالی سیال (آب)؛
 v : لزجت سینماتیکی سیال (آب).

پابنوهای

1. particle image velocimetry (PIV)
2. pliolite
3. velocity dip

منابع (References)

1. Sellin, R.H.J. "A laboratory investigation into the interaction between the flow in the channel of a river and that over its flood plain", *La Houille Blanche*, (7), pp. 793-802 (1964).
2. Cao, Z., Meng, J., Pender, G. and et al. "Flow resistance and momentum flux in compound open channels", *Journal of Hydraulic Engineering*, **132**(12), pp. 1272-1282 (2006).
3. Knight, D.W. and Shiono, K. "Turbulence measurements in a shear layer region of a compound channel", *Journal of Hydraulic Research*, **28**(2), pp. 175-196 (1990).
4. Van Prooijen, B.C., Battjes, J.A. and Uijttewaal, W.S. "Momentum exchange in straight uniform compound channel flow", *Journal of Hydraulic Engineering*, **131**(3), pp. 175-183 (2005).
5. Ikeda, S. and McEwan, I.K. eds. *Flow and Sediment Transport in Compound Channels: the Experience of Japanese and UK Research*, CRC Press (2009).
6. Shiono, K. and Muto, Y. "Complex flow mechanisms in compound meandering channels with overbank flow", *Journal of Fluid Mechanics*, **376**, pp. 221-261 (1998).
7. Bousmar, D., Wilkin, N., Jacuemart, J.H. and et al. "Overbank flow in symmetrically narrowing flood-plains", *Journal of Hydraulic Engineering*, **130**(4), pp. 305-312 (2004).
8. Bousmar, D., Proust, S. and Zech, Y. "Experiments on the flow in a enlarging compound channel", *In River Flow 2006: Proceedings of the International Conference on Fluvial Hydraulics, Lisbon, Portugal*, 6-8 September 2006 pp. 323-332, Leiden, Netherlands: Taylor and Francis (september 2006).
9. Shiono, K. and Knight, D.W. "Turbulent open-channel flows with variable depth across the channel", *Journal of Fluid Mechanics*, **222**, pp. 617-646 (1991).
10. Czernuszenko, W., Kozioł, A. and Rowiński, P.M. "Measurements of 3D turbulence structure in a compound channel", *Archives of Hydro-Engineering and Environmental Mechanics*, **54**(1), pp. 55-73 (2007).
11. Kozioł, A.P. "Three-dimensional turbulence intensity in a compound channel", *Journal of Hydraulic Engineering*, **139**(8), pp. 852-864 (2013).
12. Naot, D., Nezu, I. and Nakagawa, H. "Calculation of compound-open-channel flow", *Journal of Hydraulic Engineering*, **119**(12), pp. 1418-1426 (1993).
13. Naot, D., Nezu, I. and Nakagawa, H. "Hydrodynamic behavior of compound rectangular open channels", *Journal of Hydraulic Engineering*, **119**(3), pp. 390-408 (1993).
14. Bousmar, D., Riviere, N., Proust, S. and et al. "Upstream discharge distribution in compound-channel flumes". *Journal of Hydraulic Engineering*, **131**(5), pp. 408-412 (2005).
15. Rajaratnam, N. and Ahmadi, R.M. "Interaction between main channel and flood-plain flows", *Journal of the Hydraulics Division*, **105**(5), pp. 573-588 (1979).
16. Knight, D.W. and Demetriou, J.D. "Flood plain and main channel flow interaction", *Journal of Hydraulic Engineering*, **109**(8), pp. 1073-1092 (1983).
17. Nabipour, M., Salehi Neyshabouri, S. A. A., Mohajeri, S. H. and et al. "Study on turbulent flow in a compound channel with shallow overbank using particle image velocimetry", *Modares Mechanical Engineering*, **17**(8), pp. 164-172 (2017).
18. French, R.H. and French, R.H. "Open-channel hydraulics", New York: McGraw-Hill (p. 705) (1985).
19. Kirkgöz, M.S. and Ardiçlioğlu, M. "Velocity profiles of developing and developed open channel flow", *Journal of Hydraulic Engineering*, **123**(12), pp. 1099-1105 (1997).
20. Proust, S., Fernandes, J.N., Peltier, Y. and et al. "Turbulent non-uniform flows in straight compound open-channels", *Journal of Hydraulic Research*, **51**(6), pp. 656-667 (2013).
21. Proust, S., Peltier, Y., Fernandes, J. and et al. "Effect of different inlet flow conditions on turbulence in a straight compound open channel", *In Proceedings of the 34th World Congress of the International Association for Hydro-Environment Research and Engineering: 33rd Hydrology and Water Resources Symposium and 10th Conference on Hydraulics in Water Engineering*, Brisbane, Australia **26** (June 2011).
22. Proust, S., Fernandes, J.N., Leal, J.B. and et al. "Mixing layer and coherent structures in compound channel flows: Effects of transverse flow, velocity ratio, and vertical confinement", *Water Resources Research*, **53**(4), pp. 3387-3406 (2017).
23. Nezu, I. and Nakagawa, H. "Turbulence in open-channel flows, IAHR monograph series", AA Balkema, Rotterdam, pp. 1-281 (1993).
24. Besio, G., Stocchino, A., Angiolani, S. and et al. "Transversal and longitudinal mixing in compound channels", *Water Resources Research*, **48**(12) (2012).
25. Stocchino, A., Besio, G., Angiolani, S. and et al. "Lagrangian mixing in straight compound channels", *Journal of Fluid Mechanics*, **675**, pp. 168-198 (2011).
26. Nabipour, M., Salehi Neyshabouri, S.A.A., Mohajeri, S.H. and et al. "Study on turbulent flow in a compound channel with shallow overbank using particle image velocimetry", *Modares Mechanical Engineering*, **17**(8), pp. 164-172 (2017).
27. Nabipoor, M., Mohajeri, S.H. and Zarrati, A.R. "Effect of side looking acoustic doppler velocimeter (ADV) presence on turbulent flow field in compound channel", *Modares Mechanical Engineering*, **19**(12), pp. 2945-2953 (2019).
28. Wahl, T.L. "Discussion of "Despiking acoustic doppler velocimeter data" by Derek G. Goring and Vladimir I. Nikora", *Journal of Hydraulic Engineering*, **129**(6), pp. 484-487 (2003).

29. Parsheh, M., Sotiropoulos, F. and Porté-Agel, F. "Estimation of power spectra of acoustic-doppler velocimetry data contaminated with intermittent spikes", *Journal of Hydraulic Engineering*, **136**(6), pp. 368-378 (2010).
30. Zhang, X. and Nepf, H.M. "Exchange flow between open water and floating vegetation", *Environmental Fluid Mechanics*, **11**(5), p. 531 (2011).
31. Thielicke, W. and Stamhuis, E. "PIVlab-towards user-friendly, affordable and accurate digital particle image velocimetry in MATLAB", *Journal of Open Research Software*, **2**(1) (2014).
32. Tominaga, A. and Nezu, I. "Turbulent structure in compound open-channel flows", *Journal of Hydraulic Engineering*, **117**(1), pp. 21-41 (1991).
33. Benedict, L.H. and Gould, R.D. "Towards better uncertainty estimates for turbulence statistics", *Experiments in Fluids*, **22**(2), pp. 129-136 (1996).
34. Sanjou, M., Nezu, I. and Itai, K. "Space-time correlation and momentum exchanges in compound open-channel flow by simultaneous measurements of two-sets of ADVs", *River Flow 2010*, pp. 495-502 (2010).
35. Nezu, I. and Rodi, W. "Open-channel flow measurements with a laser Doppler anemometer", *Journal of Hydraulic Engineering*, **112**(5), pp. 335-355 (1986).
36. Stocchino, A. and Brocchini, M. "Horizontal mixing of quasi-uniform straight compound channel flows", *Journal of Fluid Mechanics*, **643**, p. 425 (2010).
37. Kara, S., Stoesser, T. and Sturm, T.W. "Turbulence statistics in compound channels with deep and shallow overbank flows", *Journal of Hydraulic Research*, **50**(5), pp. 482-493 (2012).
38. Tominaga, A., Nezu, I., Ezaki, K. and et al. "Three-dimensional turbulent structure in straight open channel flows", *Journal of Hydraulic Research*, **27**(1), pp. 149-173 (1989).